

ВЛИЯНИЕ ТЕМПЕРАТУРЫ И АНИЗОТРОПИИ МАТЕРИАЛА НА НАПРЯЖЕННОЕ СОСТОЯНИЕ ДВУХСЛОЙНЫХ ТРУБ, ПРИМЕНЯЮЩИХСЯ ПРИ ФУТЕРОВКЕ (ТЕХНОЛОГИЯ CIPP)

Представлена реализация расчета напряженно-деформированного состояния (НДС) слоистых труб из композитов с учетом температуры. Расчет проводился для двухслойной трубы из анизотропных материалов. Для тестирования разработанной программы расчета по данной методике использовались геометрические и механические данные, а также результаты расчетов НДС изотропной трубы, приведенные в работе F. Evangelista, et al. в журнале *Int. J. Comp. Meth. and Exp. Meas*, 2020, Vol. 8, № 4, стр. 326–340.

Введение

Современные инженерные конструкции все более оснащаются элементами конструкций, содержащими композиционные материалы. Среди них широко используются трубопроводы и резервуары, для которых необходимо учитывать различные факторы, влияющие на их надежность и долговечность функционирования. Одним из основных факторов, которые влияют на напряженное состояние слоистых конструкций (трубопроводов), является температура. В данной работе предлагается методика реализации расчета слоистой трубы при действии внутреннего давления и температуры. Математическая модель описания расчета базируется на линейной теории упругости анизотропного тела.

1 Постановка задачи и методы решения

Рассматривается труба, состоящая из двух слоев – внутреннего и внешнего – толщиной h_1 и h_2 . Внутренний и внешний радиусы трубы равны a и b соответственно. Материал каждого слоя может быть различным: изотропным и ортотропным (частный случай анизотропии). В трубе задано внутреннее давление P , а внешнее давление отсутствует. На рисунке 1 представлена физическая модель слоистой трубы в декартовой системе координат x, y, z , которую для дальнейшего удобства работы преобразуем в цилиндрические координаты (а) и поперечное сечение слоистой трубы (б).

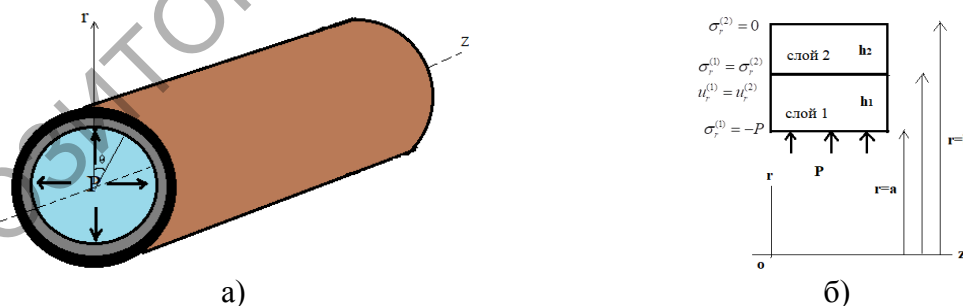


Рисунок 1 – Физическая модель слоистой трубы в цилиндрических координатах (а); поперечное сечение слоистой трубы (б)

Для реализации расчета НДС слоистых труб из композиционных материалов с учетом температуры следует построить расчет слоистой трубы, используя уравнения ортотропной теории упругости. Для рассматриваемой задачи запишем уравнение равновесия

$$\frac{\partial \sigma_r^{(k)}}{\partial r} + \frac{\sigma_r^{(k)} - \sigma_\theta^{(k)}}{r} = 0, \quad (1)$$

где $k=1, 2$ – номер слоя.

Радиальная и кольцевая деформации $\varepsilon_r^{(k)}$ и $\varepsilon_\theta^{(k)}$ определяются через радиальное перемещение $u_r^{(k)}$ по зависимостям Коши

$$\varepsilon_r^{(k)} = \frac{du_r^{(k)}}{dr}, \quad \varepsilon_\theta^{(k)} = \frac{u_r^{(k)}}{r}. \quad (2)$$

Осевые деформации $\varepsilon_z^{(k)}$ для каждого слоя эквивалентны ε_0 и приняты равными нулю. Напряжения и перемещения для каждого ортотропного слоя определяются по формулам [1, 2, 3]:

$$\begin{aligned} \sigma_r^{(k)} &= \bar{C}_{11}^{(k)} \varepsilon_r^{(k)} + \bar{C}_{12}^{(k)} \varepsilon_\theta^{(k)} + \bar{C}_{13}^{(k)} \varepsilon_0 - \xi_r^{(k)} \Delta T, \\ \sigma_\theta^{(k)} &= \bar{C}_{12}^{(k)} \varepsilon_r^{(k)} + \bar{C}_{22}^{(k)} \varepsilon_\theta^{(k)} + \bar{C}_{23}^{(k)} \varepsilon_0 - \xi_\theta^{(k)} \Delta T, \\ \sigma_z^{(k)} &= \bar{C}_{13}^{(k)} \varepsilon_r^{(k)} + \bar{C}_{23}^{(k)} \varepsilon_\theta^{(k)} + \bar{C}_{33}^{(k)} \varepsilon_0 - \xi_z^{(k)} \Delta T. \end{aligned} \quad (3)$$

где

$$\begin{aligned} \xi_r^{(k)} &= \alpha_r^{(k)} \bar{C}_{11}^{(k)} + \alpha_\theta^{(k)} \bar{C}_{12}^{(k)} + \alpha_z^{(k)} \bar{C}_{13}^{(k)}, \\ \xi_\theta^{(k)} &= \alpha_r^{(k)} \bar{C}_{12}^{(k)} + \alpha_\theta^{(k)} \bar{C}_{22}^{(k)} + \alpha_z^{(k)} \bar{C}_{23}^{(k)}, \\ \xi_z^{(k)} &= \alpha_r^{(k)} \bar{C}_{13}^{(k)} + \alpha_\theta^{(k)} \bar{C}_{23}^{(k)} + \alpha_z^{(k)} \bar{C}_{33}^{(k)}. \end{aligned} \quad (4)$$

$\bar{C}_{ij}^{(k)}$ и $\alpha_i^{(k)}$ – постоянные жесткости и коэффициенты теплового расширения для каждого слоя соответственно (индексы 1, 2, 3 характеризуют направление r, θ, z), ΔT – температура.

Для определения перемещений $u_r^{(k)}$ необходимо решить дифференциальные уравнения [1, 2, 3]

$$\frac{d^2 u_r^{(k)}}{dr^2} + \frac{1}{r} \frac{du_r^{(k)}}{dr} - \frac{\bar{C}_{22}^{(k)} / \bar{C}_{11}^{(k)}}{r^2} u_r^{(k)} = \frac{\alpha^{(k)} \varepsilon_0}{r} + \frac{\eta^{(k)} \Delta T}{r}, \quad (5)$$

где

$$\alpha^{(k)} = (\bar{C}_{23}^{(k)} / \bar{C}_{13}^{(k)}) / \bar{C}_{11}^{(k)}, \quad \eta^{(k)} = (\xi_r^{(k)} - \xi_\theta^{(k)}) / \bar{C}_{11}^{(k)}. \quad (6)$$

В случае, если $\bar{C}_{22}^{(k)} / \bar{C}_{11}^{(k)} > 0$, $\beta^{(k)} = \sqrt{\bar{C}_{22}^{(k)} / \bar{C}_{11}^{(k)}}$, то решение уравнения (5), (6) определяется из следующих 2 условий:

а) Если $\beta^{(k)} \neq 1$, то $u_r^{(k)} = A^{(k)} r^{\beta^{(k)}} + B^{(k)} r^{-\beta^{(k)}} + \frac{(\alpha^{(k)} \varepsilon_0 + \eta^{(k)} \Delta T) r}{1 - (\beta^{(k)})^2}$.

$$\text{б) Если } \beta^{(k)} = 1, \text{ то } u_r^{(k)} = \frac{(\alpha^{(k)} \varepsilon_0 + \eta^{(k)} \Delta T) r}{2} \ln r + A^{(k)} r + B^{(k)} / r.$$

Если $\bar{C}_{22}^{(k)} / \bar{C}_{11}^{(k)} < 0$, $\beta^{(k)} = \sqrt{-\bar{C}_{22}^{(k)} / \bar{C}_{11}^{(k)}}$, то решением уравнения (5), (6) будет:

$$u_r^{(k)} = A^{(k)} \cos(\beta^{(k)} \ln r) + B^{(k)} \sin(\beta^{(k)} \ln r) + \frac{(\alpha^{(k)} \varepsilon_0 + \eta^{(k)} \Delta T) r}{1 + (\beta^{(k)})^2}.$$

Коэффициенты $A^{(k)}$, $B^{(k)}$ – решение системы линейных алгебраических уравнений, получены из граничных условий

$$\sigma_r^{(1)} = -P, \sigma_r^{(2)} = 0, \sigma_r^{(1)} = \sigma_r^{(2)}, u_r^{(1)} = u_r^{(2)}.$$

Коэффициенты $\bar{C}_{ij}^{(k)}$, $k = \bar{1}, \bar{2}$ определяются из $\{\bar{C}_{ij}^{(k)}\} = [A_{kl}] \{C_{ij}^{(k)}\}$, где

$$\{\bar{C}_{ij}^{(k)}\} = \{\bar{C}_{33}^{(k)}, \bar{C}_{23}^{(k)}, \bar{C}_{13}^{(k)}, \bar{C}_{22}^{(k)}, \bar{C}_{12}^{(k)}, \bar{C}_{11}^{(k)}\}^T, \{C_{ij}^{(k)}\} = \{C_{xx}^{(k)}, C_{yy}^{(k)}, C_{zz}^{(k)}, C_{xy}^{(k)}, C_{xz}^{(k)}, C_{yz}^{(k)}, G_{zz}^{(k)}\}^T,$$

$$[A_{kl}] = \begin{bmatrix} m^4 & n^4 & 0 & 2m^2n^2 & 0 & 0 & 4m^2n^2 \\ m^2n^2 & m^2n^2 & 0 & m^4 + n^4 & 0 & 0 & -4m^2n^2 \\ 0 & 0 & 0 & 0 & m^2 & n^2 & 0 \\ n^4 & m^4 & 0 & 2m^2n^2 & 0 & 0 & 4m^2n^2 \\ 0 & 0 & 0 & 0 & n^2 & m^2 & 0 \\ 0 & 0 & 1 & 0 & 0 & 0 & 0 \end{bmatrix}.$$

$m = \cos \varphi$, $n = \sin \varphi$, где φ – угол между осью и главным направлением анизотропии.

Будем считать, что выполняются равенства для инженерных констант $E_y = E_z$, $G_{yy} = G_{zz}$, $\nu_{zx} = \nu_{yx}$, которые входят в следующие формулы [1, 2]:

$$\begin{aligned} \Delta &= S_{xx} S_{yy} S_{zz} + 2S_{xy} S_{yz} S_{xz} - S_{yy} S_{xz}^2 - S_{xx} S_{yz}^2 - S_{zz} S_{xy}^2, \\ C_{xx} &= (S_{yy} S_{zz} - S_{yz}^2) / \Delta, \quad C_{yy} = (S_{xx} S_{zz} - S_{xz}^2) / \Delta, \quad C_{zz} = (S_{xx} S_{yy} - S_{xy}^2) / \Delta, \\ C_{xy} &= (S_{xz} S_{yz} - S_{xy} S_{zz}) / \Delta, \quad C_{xz} = (S_{xy} S_{yz} - S_{xz} S_{yy}) / \Delta, \quad C_{yz} = (S_{xy} S_{xz} - S_{xx} S_{yz}) / \Delta, \\ S_{xx} &= 1/E_x, \quad S_{yy} = 1/E_y, \quad S_{zz} = 1/E_z, \quad S_{xy} = -\nu_{yx} / E_x, \quad S_{xz} = -\nu_{yx} / E_x, \quad S_{yz} = -\nu_{zx} / E_y. \end{aligned}$$

Коэффициенты температурного расширения находятся из уравнения

$$\begin{Bmatrix} \alpha_r \\ \alpha_\theta \\ \alpha_z \end{Bmatrix}^{(k)} = \begin{bmatrix} m^2 & n^2 & 0 \\ n^2 & m^2 & 0 \\ 0 & 0 & 1 \end{bmatrix} \begin{Bmatrix} \alpha_x \\ \alpha_y \\ \alpha_z \end{Bmatrix}^{(k)}.$$

При рассматриваемом расположении волокон в материале трубы, считаем, что $\alpha_z = \alpha_y$.

2 Реализация расчета НДС слоистых труб из изотропных и анизотропных материалов с учетом температуры

Разработана программа в среде Delphi, реализующая вышеприведенную теорию для изотропных и анизотропных материалов с учетом температуры, для тестирования которой использовались входные данные и результаты расчетов НДС для двухслойной трубы, приведенные в работе [4], при $\Delta T = 0$. Графики перемещений и напряжений, вычисленные по данной методике при $\Delta T = 0$ хорошо согласуются с графиками в [4].

Для определения влияния анизотропии на НДС двухслойной трубы рассмотрим изотропную стальную трубу с модулем упругости $E = 210$ ГПа и коэффициентом Пуассона $\nu = 0,3$ с внутренним покрытием – изотропным (рисунок 2) и ортотропным (рисунок 3). Характеристики изотропного покрытия: $E_x = E_y = E_z = 14,804$ ГПа, $\nu_{i,j,z} = 0,3$; характеристики ортотропного покрытия: $E_x = 14,804$ ГПа, $E_y = E_z = 148,04$ ГПа, $\nu_i = 0,3$, $\nu_j = 0,03$. Внутреннее давление $P = 1$ МПа.

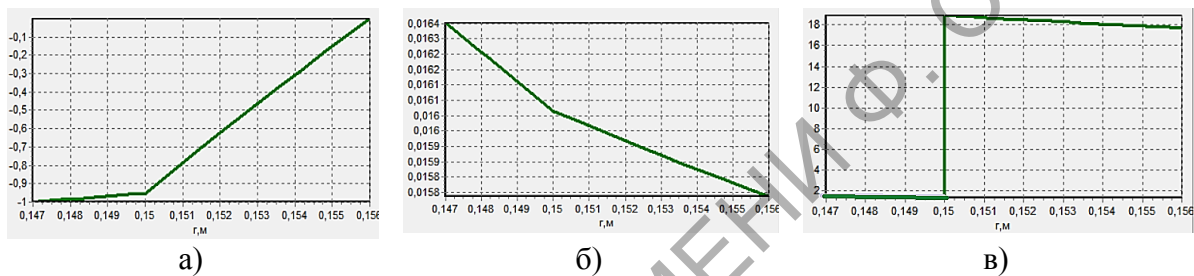


Рисунок 2 – Графики зависимостей: а) напряжений σ_r от r ; б) перемещений u_r от r ; в) напряжений σ_θ от r (изотропное покрытие)

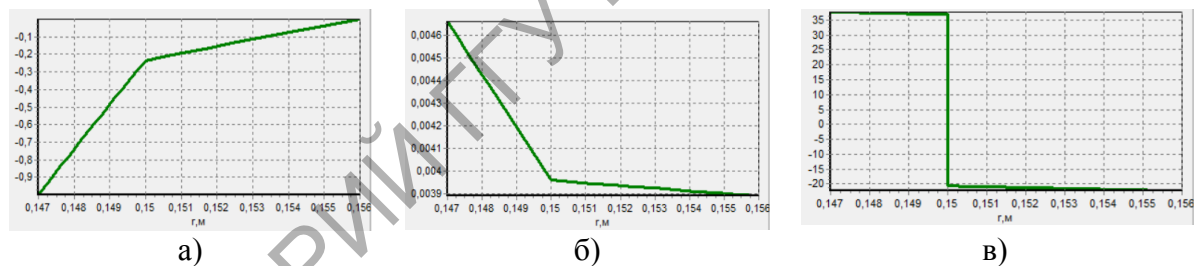


Рисунок 3 – Графики зависимостей орт: а) напряжений σ_r от r ; б) перемещений u_r от r ; в) напряжений σ_θ от r (ортотропное покрытие)

Влияние температуры на изменение перемещений стальной трубы с вышеуказанными характеристиками с внутренним изотропным и ортотропным покрытием представлены на рисунке 4а и рисунке 4б соответственно.

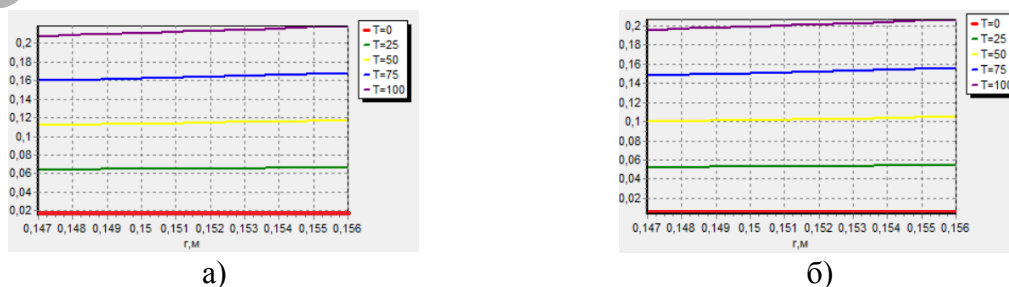


Рисунок 4 – Графики зависимостей перемещений u_r от r : а) изотропное покрытие; б) ортотропное покрытие

Исследование влияния температуры на перемещения рассматриваемой двухслойной трубы (внутренний радиус $r = 147$ мм, внешний радиус $r = 156$ мм, толщина покрытия $h_1 = 3$ мм, толщина трубы $h_2 = 6$ мм) показало, что рост температуры $\Delta T = [0, 100]$ С приводит к увеличению перемещений u_r в трубе и изменению деформаций в сечении трубы.

Заключение

Таким образом, в настоящей работе предложена методика реализации расчета НДС слоистой трубы из композиционного материала, свойства которого описываются теорией механики ортотропного тела, с учетом влияния температуры и анизотропных свойств. Характерно, что рост температуры дает изменение напряжений, деформаций и перемещений, которые нужно учитывать при расчетах на прочность и для определения скорости волны при гидроударе для движущейся жидкости в трубе.

Литература

1 Xia, M. Analysis of filament-wound fiber-reinforced sandwich pipe under combined internal pressure and thermomechanical loading / M. Xia, K. Kemmochi, H. Takayanagi // Comp. Structures. – 2001. – № 51. – P. 273–283.

2 Можаровский, В. В. Напряженно-деформированное состояние слоистых цилиндрических труб / В. В. Можаровский, С. А. Марьин, Н. А. Марьина // Вестник ХНТУ. – 2008. – № 2 (31). – С. 304–309.

3 Василевич, Ю. В. Математическое моделирование, экспериментальные исследования, расчет на прочность и жесткость труб и резервуаров из композиционных материалов с учетом неоднородности, анизотропии, концентраторов напряжений / Ю. В. Василевич, В. В. Можаровский // Механика-2011 : сб. науч. тр. V Белорусского конгресса по теоретической и прикладной механике, Минск, 26–28 окт. 2011 г. : в 2 т. / Объедин. ин-т машиностроения НАН Беларуси ; редкол. : М. С. Высоцкий [и др.]. – Минск, 2011. – Т. 2. – С. 4–8.

4 Можаровский, В. В. Реализация расчета напряженно-деформированного состояния слоистых труб из композитов и определение скорости волны при гидроударе / В. В. Можаровский, С. В. Киргинцева // Проблемы физики, математики и техники. – 2021. – № 3 (48). – С. 19–23.

УДК 004.4'2:004.774.6:629.32

Д. Е. Киселев

РАЗРАБОТКА ВЕБ-СЕРВИСА «BICYCLE COMPANY»

Статья посвящена использованию таких технологий, как ASP.NET Core и EntityFramework Core. Решена задача по реализации приложения, которое позволяет управлять основными процессами работы сервиса для ремонта велосипедов. Пользователь может хранить и корректировать информацию о своем велосипеде, оставлять заявки на ремонт, мастер – управлять заявками и заказывать необходимые детали.

Все большую популярность в современном мире приобретает езда на велосипеде. В развитых европейских странах уже около 30 % поездок осуществляется на велосипедах, а, например, в Амстердаме велосипед является основным видом городского транспорта. В нашей стране также происходит популяризация велодвижения. Создаются и